

## 差分法によるLESについて

On LES by Finite Difference Method

堀 内 潔\*

Kiyosi HORIUTI

### 1. はじめに

ラージ・エディ・シミュレーション (以下, LES)<sup>1)</sup> は, Deardorff<sup>2)</sup>により, 最初に本格的に行われた。この計算は, その後, Schumann<sup>3)</sup>, Moin and Kim<sup>4)</sup>, Horiuti<sup>5)</sup>により精密化されてきたが, 扱った流れ場は, いずれも, 平行平板間の発達した乱流場であった。この場では, チャンネル内の下流および横断方向に, 流れは一樣と考えられるので, 周期境界条件を課することができる。このため, この2方向には, Moin and Kim<sup>4)</sup>, Horiuti<sup>5)</sup>では, フーリエ展開による高精度のスペクトル法が用いられた。チャンネル流といった比較的単純な形状では, こうした高精度のスペクトル法を用いることが可能であるが, 一般の複雑形状のLESに, スペクトル法を適用するのは, まだまだ容易ではなく, 通常2次精度, あるいは, 高々4次精度の差分法が多く用いられている<sup>6,7)</sup>。

LESでは, すべてのスケールを含む生の変数 $f$ に, フィルター

$$\bar{f}(x_1, x_2, x_3) = \int_{D_i=1}^3 \Pi G_i(x_i - x_i') f(x_1', x_2', x_3') dx_1' dx_2' dx_3' \quad (1)$$

を施すことにより, 格子スケール(GS)成分( $\bar{f}$ ), 格子以下のスケール(SGS)成分に分離する。ここに,  $G(x)$ は, フィルター関数であり, 通常, ガウシアン形もしくは, トップ・ハット形<sup>13)</sup>が用いられている。以下, SGS成分 $f - \bar{f}$ を $f'$ のように記述する。ナビエ・ストークス方程式, および, 連続の方程式に, このフィルターを施すことにより, 速度 $u_i$ , 圧力 $p$ のGS成分 $\bar{u}_i$ ,  $\bar{p}$ にたいする支配方程式

$$\frac{\partial \bar{u}_i}{\partial t} + \frac{\partial}{\partial x_j} (\bar{u}_i \bar{u}_j) = -\frac{\partial}{\partial x_j} \tau_{ij} - \frac{\partial \bar{p}}{\partial x_i} + \frac{1}{Re} \Delta \bar{u}_i \quad (2)$$

$$\frac{\partial \bar{u}_i}{\partial x_i} = 0 \quad (3)$$

を得る。本速報では, チャンネル流れを考え,  $i = 1(x)$ は下流方向,  $i = 2(y)$ は壁に垂直な方向,  $i = 3(z)$ は

\*東京大学生産技術研究所 第1部

横断方向を表す。(2)式中の $\tau_{ij}$ は, レオナード項( $L_{ij} = \overline{u_i u_j} - \bar{u}_i \bar{u}_j$ ), クロス項( $C_{ij} = \overline{u_i u_j'} + u_i' \bar{u}_j$ ), および, SGSレイノルズ応力項( $R_{ij} = \overline{u_i' u_j'}$ )から成る。ガウシアン・フィルターと併用したスペクトル法では,  $L_{ij}$ は直接計算できる。これは, (1)式のconvolutionの計算が, フーリエ空間では, ガウシアン・フィルターのフーリエ変換(やはり, ガウシアン形)と $f$ のフーリエ変換の単純な積で書き表せるという事実による。 $R_{ij}$ の近似には通常スマゴリンスキー・モデル<sup>1-5)</sup>が用いられているが, 過去の計算<sup>4,5)</sup>では,  $C_{ij}$ は無視されてきた。

ところで, 近年の電子計算機のめざましい発達は, スペクトル法による直接シミュレーション(DNS)を可能にした。このデータ・ベースを用いたLESにおける乱流モデリングの直接的な検証<sup>9-12)</sup>は, 過去の近似の誤まり, 特に,  $C_{ij}$ の無視が, DNSとの相関, および, 乱流強度といった統計量の精度を, 落とすことを明らかにした。 $C_{ij}$ のモデルとしては, Bardina<sup>9)</sup>によるモデルがある。これは,

$$C_{ij} \sim \bar{u}_i (\bar{u}_j - \bar{u}_j) + (\bar{u}_i - \bar{u}_i) \bar{u}_j \quad (4)$$

$$R_{ij} \sim (\bar{u}_i - \bar{u}_i) (\bar{u}_j - \bar{u}_j) \quad (5)$$

$$C_{ij} + R_{ij} \sim \bar{u}_i \bar{u}_j - \bar{u}_i \bar{u}_j \quad (6)$$

のように近似するが, ガウシアン・フィルターを, スペクトル法と併用した場合には, 前述のように, 直接計算することが可能である。これにたいし, 一般の2次精度の差分法では, 打ち切り誤差が $L_{ij}$ に対応し<sup>13,14)</sup>, 陰的に $L_{ij}$ の近似を含み,  $C_{ij}$ を考慮していない。したがって, 差分法における $C_{ij}$ のモデルの導入は, より精度の高いLESを行うためには, 必要なことと考えられる。本速報は, Bardinaモデルの差分法によるLESへの導入を論じるものである。

### 2. レイノルズ応力の非等方表現とBardinaモデル

本節では, まず, チャンネル流のDNSのデータ・ベースを用いたLES乱流モデルの検証を行う。データ・ペー

研究速報

スの計算には、フーリエ・チェビシェフ多項式展開を用い、格子点数は、 $x, y, z$ 方向におおの、128, 129, 128とした。このデータに、 $x, z$ 方向には、ガウシアン・フィルターを、 $y$ 方向には、トップ・ハット・フィルターを施すことにより、GS成分、および、SGS成分に分離した。この際、フィルターの特性長さは、 $x, z$ 方向には、DNSデータの格子幅の4倍、 $y$ 方向には、2倍とした。このデータを用いて、 $L_{ij}, C_{ij}, R_{ij}$ の各項の厳密値とモデル値を算出し、その相関係数等により、モデルの忠実度を検討した。この結果、まず、Bardinaモデルは、 $C_{ij}$ を非常に良く近似することがわかった<sup>12)</sup>。図1は、 $L_{12}$ と $C_{12}^B$ と $R_{12}^B$ (おのおのBardinaモデルによる $C_{12}, R_{12}$ のモデル値)、 $R_{12}^S$ (スマゴリンスキー・モデルによる $R_{12}$ のモデル値)等との相関係数(C.C.)、および、rms値の比(R.R.)を示す。この図より、 $C_{12}^B$ と $L_{12}$ は、強い負の相関を持ち、rms値も非常に近いことがわかり、ほとんど、打ち消し合っていることがわかる。テイラー展開を用いることにより、 $L_{ij}$ と $C_{ij}^B$ は次のように近似できる。

$$L_{ij} \sim \frac{\Delta^2}{24} \bar{u}_i \frac{\partial}{\partial x_k} \frac{\partial}{\partial x_k} \bar{u}_j + \frac{\Delta^2}{24} \bar{u}_j \frac{\partial}{\partial x_k} \frac{\partial}{\partial x_k} \bar{u}_i + \frac{\Delta^2}{12} \frac{\partial \bar{u}_i}{\partial x_k} \frac{\partial \bar{u}_j}{\partial x_k} + 0 (\Delta^4) \quad (7)$$

$$C_{ij}^B \sim -\frac{\Delta^2}{24} \bar{u}_i \frac{\partial}{\partial x_k} \frac{\partial}{\partial x_k} \bar{u}_j - \frac{\Delta^2}{24} \bar{u}_j \frac{\partial}{\partial x_k} \frac{\partial}{\partial x_k} \bar{u}_i \quad (8)$$

ここに、 $\Delta$ は格子間隔を示し、おのおのの展開の最初の2項は、同じ形で反対の符号をもっている。これが先述の強い負の相関の原因であるが、注意すべきは、両者を足し合わせたとき、ガリレイ不変性(G.I.)<sup>15)</sup>を破る項が消去される点である。さらに、残りの項は、いわゆるレイノルズ応力の非等方表現の一部に相当する。この項は、図1からもわかるように、SGSレイノルズ応力の大きさと比べ無視できない大きさをもっている。さらに、これらは、 $\Delta^2$ のオーダーの項であり、スマゴリンスキー・モデルによる項と同じオーダーであるので、これらの項を

無視する積極的な理由はない。

### 3. Bardinaモデルの差分法への導入

Bardinaモデルの差分法への導入には、いくつかの方法が考えられるが、一つの方法は、(7)、(8)式のテイラー展開を直接近似する方法である。しかし、この方法では、たとえば、壁での境界条件を考えると、整合性が完全にとれるとは言えない。むしろ、 $L_{ij}$ および $C_{ij}^B$ は、フラックス形式で書かれることに注目し、この性質を利用したほうが良い。この場合、たとえば、壁では、 $\bar{u}_i = \bar{u}_i = 0$ となるので、境界条件の与え方も、このほうが容易である。この方法を採用するには、 $\bar{u}_i$ から $\bar{u}_i$ を適当に定義しなくてはならない。ところで、2次の中心差分が、その差分をとる区間で、トップ・ハット・フィルターを施すことに相当するのはよく知られている<sup>13,14)</sup>。したがって、ここでも、 $\bar{u}_i(x)$ を、 $\bar{u}_i(x-\Delta x)$ 、 $\bar{u}_i(x)$ 、 $\bar{u}_i(x+\Delta x)$ を使って適切に定義することにした。その結果、G.I.の観点から、シンプソン則が最も適切であることがわかった。したがって、 $L_{ij}$ 、 $C_{ij}^B$ を近似するスキームは、次のようになる：

$$\frac{\partial}{\partial x_j} L_{ij} \sim L_x L_z \frac{\delta^{(4)}}{\delta x^{(4)}} (\bar{u}_i \bar{u}_j) - \frac{\delta^{(4)}}{\delta x^{(4)}} (\bar{u}_i \bar{u}_j), \quad (9)$$

$$\frac{\partial}{\partial x_j} C_{ij} \sim \frac{\delta^{(4)}}{\delta x^{(4)}} (\bar{u}_i \bar{u}_j - \bar{u}_i \bar{u}_j), \quad (10)$$

$$\bar{u}_i = L_x L_z \bar{u}_i, \quad (11)$$

$$L_x \bar{u}_{i,k} = (\bar{u}_{i,k-1} + 4 \bar{u}_{i,k} + \bar{u}_{i,k+1}) / 6 \quad (12)$$

ここに、 $\delta^{(4)}(\bar{u}_i \bar{u}_j) / \delta x^{(4)}$ は、運動量、および、エネルギーを保存する4次精度のArakawa form<sup>20)</sup>を示し、 $\bar{u}_{i,k}$ は、 $x$ 方向に $k$ 番目の格子点での第 $i$ 成分の速度を示す。このスキームの長所は、前述のように、たとえば、壁では、 $\bar{u}_i = 0$ という自然境界条件が使えること、および、計算機プログラムへの導入が容易な点にある。ここでは、連続の式、および、圧力勾配の項も4次精度の中心差分を用いて近似している点に留意されたい。ただし、渦粘性係数を含む残りの項は、以下の計算例では、2次精度としている。このスキームは、 $\Delta^2$ のオーダーまで、テイラー展開(7)、(8)と全く同じ打ち切り誤差を与える。ほかにも、10種類以上におよぶスキームを試みたが、このスキームが最良の結果を与えたので、採用した。ところで、これらのスキームの優劣は、打ち切り誤差の、GSエネルギー・バランス中での振る舞いで、評価できる。それは、打ち切り誤差が、同バランス中では、たとえば、 $\langle \partial \bar{u} / \partial x \rangle^3$ といったderivative skewnessで表現でき、これらは、せん断乱流中では、零以外の正負の値をとるからである<sup>13,14)</sup>。種々のderivative skewnessのうち、特に、 $-\langle \partial \bar{u} / x \cdot \partial \bar{v} / \partial x \cdot \partial \bar{u} / \partial y \rangle$ の項が最も重要な貢献を

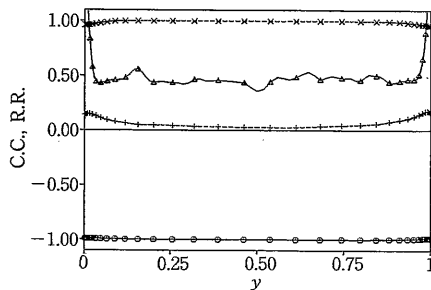


図1  $C_{12}^B$ と $L_{12}$ のC.C. (○), R.R. (×)  $L_{12} + C_{12}^B$ と $L_{12}$ のR.R. (+),  $R_{12}^B + R_{12}^S$ と $L_{12} + C_{12}^B$ のR.R. (△)

研究速報  
 していることが明らかになった<sup>21)</sup>。この項は、GSエネルギーの生成項 ( $-\langle \bar{u}'' \bar{v} \rangle \partial \bar{u} / \partial y$ ) に近い項であり、特に、壁際のsublayerからbuffer layerにかけては、正の値をとり、エネルギーの生成に貢献している(ここに、 $\bar{u}''$ は、 $\bar{u}$ の $x-z$ 面内平均からのずれを示す)。これらのlayerでは、いわゆる縦渦の発生に伴う乱流エネルギーの生成が激しく起きることが良く知られている。一方、一般に、derivative skewnessは、渦の伸長に関係していることは、良く知られており<sup>13,14)</sup>、こうした秩序構造と、関連している項と考えられる。他のスキームの失敗は、derivative skewnessによるGSエネルギーの生成、あるいは、散逸が大きすぎることによる。

不等間隔メッシュへの本スキームの適用には、シン普森則による積分を、ラグランジュ補間による積分に置きかえる等の補正が必要である。同時に、Bardinaモデル自体にも補正が必要である。

4. 計 算 結 果

スキーム(9)~(12)を用いた結果を、他のスキームによる結果と比較する。チャンネル幅と、壁面摩擦速度で定義したレイノルズ数 ( $Re$ ) は1280とし、格子点数は、 $64 \times 62 \times 64$ とした。基本的な数値計算法はHoriuti<sup>5)</sup>と同

一である。ここでは、4つのケースについて報告する。ケース1は、Horiuti<sup>5)</sup>と同一のデータであり、スペクトル法をガウシアン・フィルターと併用し、レオナード項のみ導入している。ケース2は、すべて2次の中心差分を用い、Bardinaモデルは導入していない。したがって、陰的に、レオナード項を含む。ケース3は、ケース1に、Bardinaモデルを導入した場合、ケース4は、新しいスキーム(9)~(12)を用いた場合である。ただし、いずれのケースでも、 $y$ 方向には、2次精度の(不等間隔)中心差分を用い、この方向には、Bardinaモデルを導入していない。また、すべての場合に、SGSレイノルズ応力の近似のためには、スマゴリンスキー・モデルが付加されている。

図2は、GSエネルギーの壁近傍の $y$ 分布を示す。(a)、(b)は、おのおの、下流、および壁に垂直な成分である。(a)、(b)のいずれにおいても、ケース1、2とケース3、4との2つのグループに分けることができる。ケース1は、スペクトル法を用い、多大の計算時間を要するが、残念ながら、その結果は、ケース2にくらべ、必ずしも改善されているとは言えない。また、ケース3と4にも、著しい相違は見いだされない。実験との比較から、後者のグループ、すなわちBardinaモデルを導入したほ

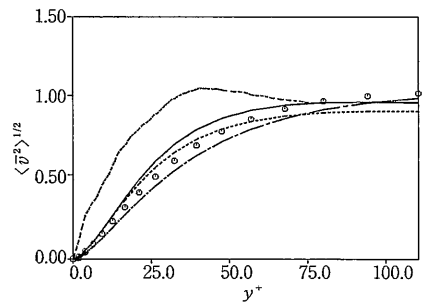
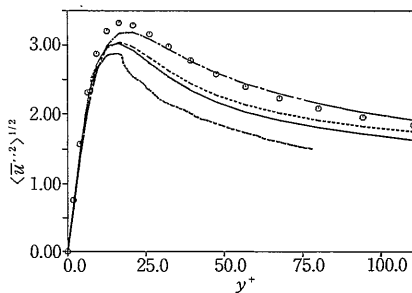


図2 壁近傍の乱流強度の分布 (a)下流方向成分 (b)垂直方向成分 ○, ケース1; ---, ケース2; - · - · -, ケース3; —, ケース4; ·····, 実験データ<sup>22)</sup>

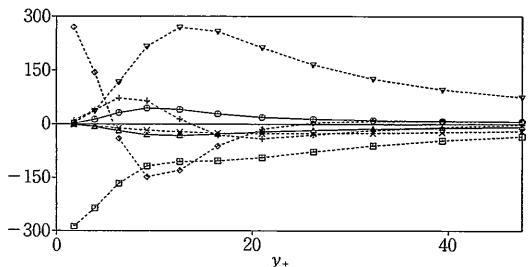
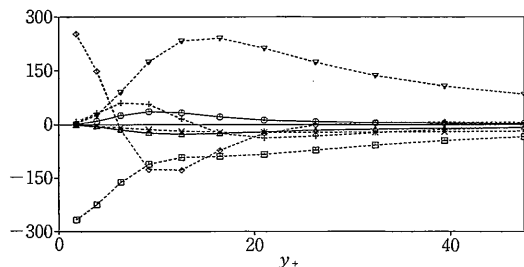


図3 GS乱流エネルギー下流方向成分のバランス (a)ケース3 (b)ケース4  $\triangle$ —, レオナード項による散逸;  $\bigcirc$ —, Bardinaモデルによる生成;  $\triangle$ —, 生成項;  $\triangle$ —, 輸送項;  $\times$ —, velocity-pressure gradient;  $\diamond$ —, 拡散項;  $\square$ —, 散逸項

研 究 速 報

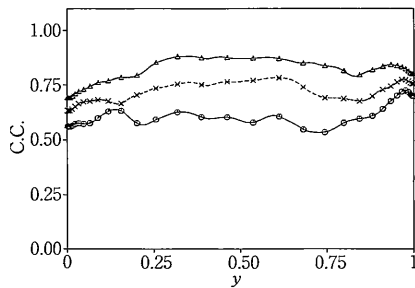


図 4 ダイナミック・テストの相関係数の $y$ 分布  
 ○, フィルターをかけたDNSデータとLESのケース  
 1におけるC.C.; △, ケース3; -×-, ケース4

うが、壁付近での立ち上がりがより良い、および、乱流強度のピーク位置がより壁に近い等の点で、改善されている。したがって、過去のケース1の欠点が解消されていることがわかる。図3は、GS乱流エネルギーの下流方向成分のバランスである。(a), (b)はおおのケース3, 4からのものであるが、両者はほぼ同一であり、新しいスキーム(9)~(12)は、レオナード項、および、Bardinaモデルを忠実に近似していることがわかる。ちなみに、ケース4に要する計算時間は、ケース3の半分であり、顕著な節約となっている。このエネルギー・バランスで注目すべきは、レオナード項がエネルギーの散逸をしているのに対し、Bardinaモデルによる項は、特に、 $y_+ \sim 10$ の近辺で、エネルギーの生成として機能しており、この領域ではエネルギーの“backscattering”を行っている点である。この点は、前述の derivative skewness と密接に関連している。最後に、“厳密”解との相関を測る dynamic なテストによって、スキームの精度を検証する<sup>12)</sup>。図4は、無次元時間で0.225経過した時点での相関係数の $y$ 分布で、ケース4は、ケース1より高い相関を保持しているが、ケース3に比べると、やや低い相関となっている。これは、4次精度差分は、高波数成分にたいする精度が、スペクトル法に比べると低いこと、および、粘性項の計算に、2次精度を用いたことによると考えられる。

## 5. ま と め

LESにおけるレオナード項とBardinaモデルの役割を論じ、レオナード項のみの導入は、計算精度を落とすことを明らかにした。さらに、差分法によるLESへの、両者の適切な導入を図る、新しいスキームを提案した。このスキームは、2次精度の打ち切り誤差まで正確に両項を近似し、スペクトル法とガウシアン・フィルターを併用した計算と、統計量のレベルでは、ほぼ、同じ精度が出せ、大幅な計算時間の軽減が図れることを示した。不等間隔メッシュへの適用については、紙面の関係で、別の機会にゆずる。  
 (1989年10月9日受理)

## 参 考 文 献

- 1) Reynolds, W.C., Ann. Rev. of Fluid Mech., 8, 183 (1976)
- 2) Deardorff, J.W., J. Fluid Mech., 41, 453 (1970)
- 3) Schumann, U., J. Comp. Phys., 18, 376 (1975)
- 4) Moin, P. and Kim, J., J. Fluid Mech., 118, 341 (1982)
- 5) Horiuti, K., J. Comp. Phys., 71, 343 (1987)
- 6) 生産研究, 乱流の数値シミュレーション (NST) 特集号, その1~その5 (1985~1989)
- 7) IIS Ann. Report on Num. Simulations of turb. flows, No. 1~3 (1986~1988)
- 8) Clark, R.A. et al., J. Fluid Mech., 91, 1 (1979)
- 9) Bardina, J., Ph. D. dissertation, Stanford Univ. (1983)
- 10) Speziale, C.G. et al., Phys. Fluids, 31, 940 (1988)
- 11) Piomelli, U. et al., Phys. Fluids, 31, 1884 (1988)
- 12) Horiuti, K., Phys. Fluids, A 1, 462 (1989)
- 13) Leonard, A., Adv. Geophys., 18A, 237 (1974)
- 14) 堀内 潔, 生産研究, 第38巻, 第1号, 35 (1986)
- 15) Speziale, C.G., J. Fluid Mech., 175, 459 (1987)
- 16) Leslie, D.C., "Developments in the theory of turbulence", Clarendon Press, Oxford (1973)
- 17) Yoshizawa, A., Phys. Fluids, 27, 1377 (1984)
- 18) Speziale, C.G., J. Fluid Mech., 175, 459 (1987)
- 19) Nisizima, S. and Yoshizawa, A., AIAA J. 25, 414 (1987)
- 20) Arakawa, A., J. Comp. Phys., 1, 119 (1966)
- 21) Horiuti, K., Proc. Int. Symp. Comp. Fluid. Dyn. Nagoya, Aug. 28-31, p. 233 (1989)
- 22) Kreplin, H. and Ecklemann, M., Phys. Fluid, 22, 1233 (1979)